

# ИССЛЕДОВАНИЕ МАГНИТНЫХ ФАЗОВЫХ ПЕРЕХОДОВ И МАГНИТНЫХ СТРУКТУР В РЯДЕ РЕДКОЗЕМЕЛЬНЫХ ФЕРРОБОРАТОВ С ИСПОЛЬЗОВАНИЕМ ЭРБИЕВОГО СПЕКТРОСКОПИЧЕСКОГО ЗОНДА

© 2007 г. Т. Н. Станиславчук\*, Е. П. Чукалина\*, канд. физ.-мат. наук;  
Л. Н. Безматерных\*\*, канд. физ.-мат. наук

\* Институт спектроскопии РАН, г. Троицк, Московская область

\*\* Институт физики им. Л.В. Киренского СО РАН, г. Красноярск

E-mail: echukalina@isan.troitsk.ru

Исследованы обменные расщепления в спектрах  $\text{Er}^{3+}$ , введенного в качестве спектроскопического зонда в редкоземельные ферробораты  $\text{RFe}_3(\text{BO}_3)_4$  ( $\text{R} = \text{Y}, \text{Er}, \text{Tb}, \text{Gd}$ ). Определены значения температур магнитного упорядочения ( $38 \pm 1$  К для  $\text{YFe}_3(\text{BO}_3)_4$ ,  $39 \pm 1$  К для  $\text{ErFe}_3(\text{BO}_3)_4$ ,  $41 \pm 1$  К для  $\text{TbFe}_3(\text{BO}_3)_4$ ,  $37 \pm 1$  К для  $\text{GdFe}_3(\text{BO}_3)_4$ ) и спин-переориентационного перехода в  $\text{GdFe}_3(\text{BO}_3)_4$ :  $T_R = 7,5 \pm 0,5$  К. На основании сравнения спектров  $\text{Er}^{3+}$  в  $\text{GdFe}_3(\text{BO}_3)_4$ , магнитная структура которого известна, и в других ферроборатах сделан вывод об ориентации магнитных моментов железа  $M_{\text{Fe}}$  в магнитоупорядоченном состоянии:  $M_{\text{Fe}} \perp c$  для ферроборатов иттрия и эрбия,  $M_{\text{Fe}} \parallel c$  – для ферробората тербия.

Коды OCIS: 160.2260.

*Поступила в редакцию 28.02.2006.*

Соединения с общей формулой  $\text{RM}_3(\text{BO}_3)_4$  ( $\text{R} = \text{Y}, \text{La–Lu}; \text{M} = \text{Al}, \text{Ga}, \text{Cr}, \text{Fe}, \text{Sc}$ ) кристаллизуются в тригональной структуре типа хантита и описываются пространственной группой  $\text{R}32$  ( $D_3^7$ ) [1–4]. Изолированные октаэдры  $\text{FeO}_6$  соединены гранями таким образом, что образуют винтовые цепочки, параллельные кристаллографической оси  $c$ . Отдельные цепочки соединены с помощью искаженных многогранников  $\text{RO}_6$  и двух типов треугольных групп  $\text{BO}_3$ . Ионы  $\text{R}^{3+}$  занимают одну позицию с тригональной симметрией  $D_3$ . Алюминаты из этого семейства ( $\text{M} = \text{Al}$ ) обладают хорошими люмINESЦЕНТНЫМИ и нелинейными оптическими свойствами и являются перспективными материалами для квантовой и оптоэлектроники. Отсутствие концентрационного тушения люминесценции, которое позволяет вводить большие концентрации активных лазерных ионов вплоть до 100%, и высокая эффективность лазерных переходов позволяют создавать на основе кристаллов боратов миниатюрные лазеры средней мощности. Так, в качестве активной среды для подобного лазера служит  $\text{NdAl}_3(\text{BO}_3)_4$  [5]. Миниатюрные, но довольно мощные лазеры применяются, в частности, для связи и обработки информации. Нелинейные оптические свойства кристаллов боратов с  $\text{M} = \text{Al}$  позволяют применять их в качестве эффективных лазеров с самоудвоением частоты и смешением частот [5–7]. Так, на иттрий-алюминиевом борате с неодимом ( $\text{YAl}_3(\text{BO}_3)_4:\text{Nd}^{3+}$ ) можно одновременно получить лазерное излучение трех основных цветов: синего, зеленого и красного [6], что представляет интерес для развития технологии создания высококачественных и ярких дисплеев. В то же вре-

мя кристаллы редкоземельных (РЗ) ферроборатов, магнитная подсистема которых состоит из ионов разного сорта: РЗ  $4f$ -ионов и  $3d$ -ионов железа, образующих квазиодномерную структуру, – интересны с точки зрения магнетизма. Однако свойства РЗ ферроборатов изучены мало.

Исследования магнитных свойств ферроборатов были проведены в работах [3, 8–13]. По зависимости от температуры магнитной восприимчивости кристаллов  $\text{RFe}_3(\text{BO}_3)_4$  ( $\text{R} = \text{Y}_{0,5}\text{Bi}_{0,5}, \text{Nd}, \text{La}$ ) [3] было зарегистрировано антиферромагнитное упорядочение при температурах Нееля  $T_N = 39,5, 32$  и  $32$  К соответственно. Позже магнитное упорядочение как фазовый переход второго рода было обнаружено по температурной зависимости спектров пропускания монокристаллов  $\text{NdFe}_3(\text{BO}_3)_4$  при  $T_c = 33$  К [8]. Комплексное исследование целого ряда ферроборатов  $\text{RFe}_3(\text{BO}_3)_4$  ( $\text{R} = \text{Y}, \text{La–Nd}, \text{Sm–Ho}$ ) было проведено в работе [10] на порошковых образцах. Измерения зависимостей от температуры магнитной восприимчивости и удельной теплоемкости позволили построить зависимость температуры магнитного упорядочения  $T_N$  от ионного радиуса  $R^{3+}$  [10]. Выяснилось, что температура Нееля не зависит от магнитного момента РЗ иона и линейно возрастает при уменьшении его ионного радиуса. Наиболее полное исследование ориентированных монокристаллов ферроборатов было проведено для  $\text{GdFe}_3(\text{BO}_3)_4$ . По зависимостям от температуры теплоемкости, спектров комбинационного рассеяния  $\text{GdFe}_3(\text{BO}_3)_4$  и спектров поглощения  $\text{Nd}^{3+}$ -зонда в  $\text{GdFe}_3(\text{BO}_3)_4$  [11] были выявлены три фазовых перехода: структурный переход первого рода при  $T_c = 156$  К, магнитное упорядочение как переход второго рода при

$T_N = 37$  К и спин-переориентационный переход первого рода при  $T_R = 9$  К. В рентгеноструктурных исследованиях монокристаллов  $\text{GdFe}_3(\text{BO}_3)_4$  было установлено, что при  $T_c = 156$  К симметрия структуры понижается и описывается тригональной группой  $P\bar{3}121$  ( $D_3^4$ ), причем остается одна позиция для Р3 иона, симметрия ее понижается от  $D_3$  до  $C_2$  [4].

В работе [11] с использованием данных магнитных измерений [9] был сделан вывод об ориентации магнитных моментов ионов  $\text{Fe}^{3+}$ : выше 9 К – перпендикулярно к оси  $c$  (упорядочение типа легкая плоскость), ниже 9 К – вдоль оси  $c$  (упорядочение типа легкая ось). Этот вывод был независимо подтвержден в исследованиях монокристаллов  $\text{GdFe}_3(\text{BO}_3)_4$  с использованием метода антиферромагнитного резонанса [12].

Ориентация магнитных моментов железа в магнитоупорядоченной фазе для других ферроборатов  $\text{RFe}_3(\text{BO}_3)_4$  с  $\text{R} \neq \text{Gd}$  неизвестна. Настоящая работа посвящена исследованию магнитных фазовых переходов и магнитных структур в монокристаллах ферроборатов гадолиния, тербия, эрбия и иттрия с использованием эрбийового спектроскопического зонда.

## Эксперимент

Прозрачные зеленые монокристаллы  $\text{GdFe}_3(\text{BO}_3)_4$ ,  $\text{YFe}_3(\text{BO}_3)_4$  и  $\text{TbFe}_3(\text{BO}_3)_4$ , активированные 1% эрбия и  $\text{ErFe}_3(\text{BO}_3)_4$  были выращены из растворов-расплавов на основе  $\text{Bi}_2\text{Mo}_3\text{O}_{12}-\text{Li}_2\text{MoO}_4$  [14]. Из выращенных монокристаллов были вырезаны неориентированные пластинки толщиной 0,2–4 мм.

Образец на специальной вставке помещался в оптический гелиевый криостат, где находился в парах гелия. Для измерения использовалась термопара  $\text{Cu}:\text{Cu}_{1-x}\text{Fe}_x$ , измерительный спай которой находился в рабочей камере рядом с образцом. Система регулировки позволяла проводить измерения температуры с погрешностью  $\pm 0,5$  К и стабилизацией  $\pm 0,05$  К. Спектры пропускания образцов монокристаллов  $\text{GdFe}_3(\text{BO}_3)_4:\text{Er}^{3+}$  (1 ат.-%),  $\text{YFe}_3(\text{BO}_3)_4:\text{Er}^{3+}$  (1 ат.-%),  $\text{TbFe}_3(\text{BO}_3)_4:\text{Er}^{3+}$  (1 ат.-%) и  $\text{ErFe}_3(\text{BO}_3)_4$  были зарегистрированы в спектральной области 4000–14 000  $\text{cm}^{-1}$  при температурах от 4,2 К до 300 К с разрешением от 1 до 0,2  $\text{cm}^{-1}$  с помощью фурье-спектрометра высокого разрешения ВОМЕМ DA3.002 с охлаждаемым азотом приемником InSb.

## Экспериментальные результаты и обсуждение

Зеленый цвет ферроборатов обусловлен широкими полосами поглощения ионов железа  $\text{Fe}^{3+}$  в красной области спектра [8, 15]. Наиболее удобным для наших исследований является нижайший по энергии переход  ${}^4I_{15/2} \rightarrow {}^4I_{13/2}$  в ионе  $\text{Er}^{3+}$  (спектральная область 6000–6800  $\text{cm}^{-1}$ ), так как все другие оптические переходы иона  $\text{Er}^{3+}$ , лежащие в инфракрасной области спектра, попадают в область полос поглощения ионов  $\text{Fe}^{3+}$ . На рис. 1 представлены спектры пропускания в области перехода  ${}^4I_{15/2} \rightarrow {}^4I_{13/2}$  иона  $\text{Er}^{3+}$  в соединениях  $\text{YFe}_3(\text{BO}_3)_4$ ,  $\text{TbFe}_3(\text{BO}_3)_4$ ,  $\text{GdFe}_3(\text{BO}_3)_4$ , легированных 1% эрбия, и в  $\text{ErFe}_3(\text{BO}_3)_4$  при  $T = 50$  К (парамагнитная фаза). Обозначения спектральных линий приведены в

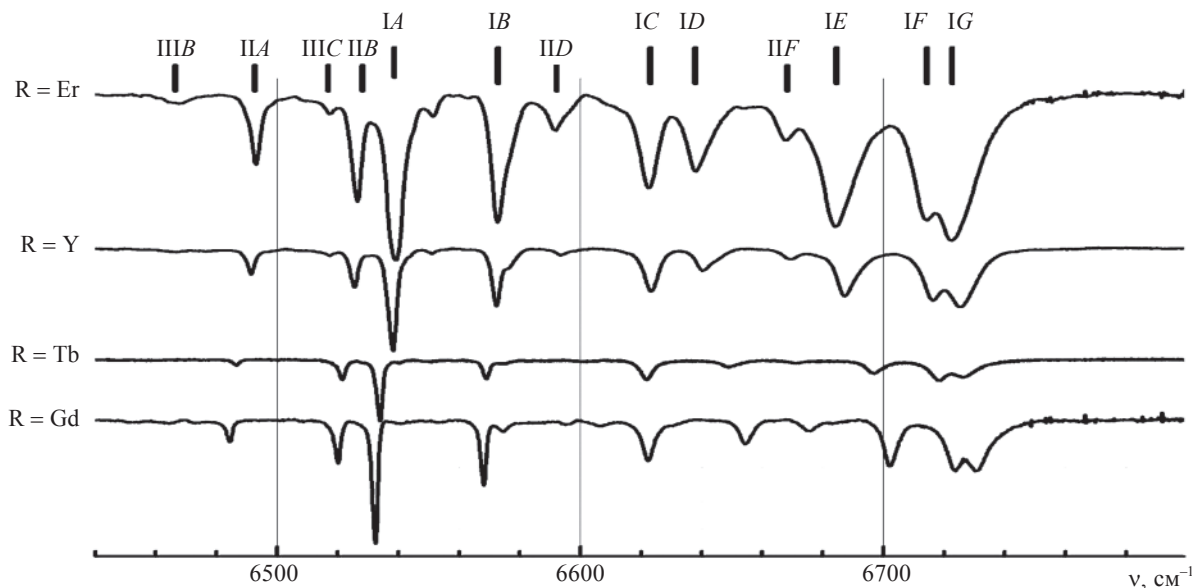
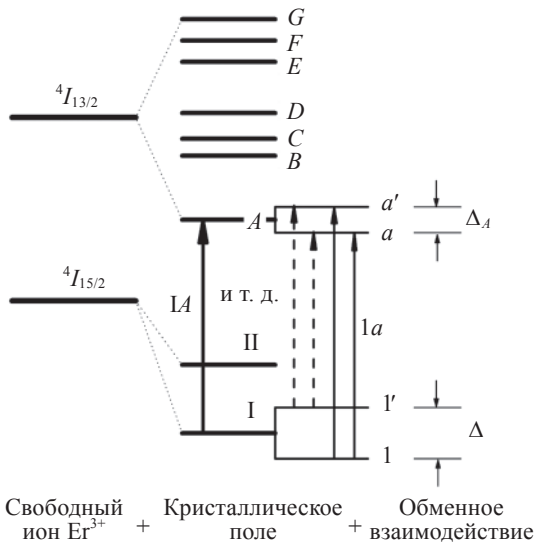


Рис. 1. Спектры пропускания в области перехода  ${}^4I_{15/2} \rightarrow {}^4I_{13/2}$  в зондовом ионе  $\text{Er}^{3+}$  в монокристаллах  $\text{RFe}_3(\text{BO}_3)_4$  при  $T = 50$  К (парамагнитная фаза).



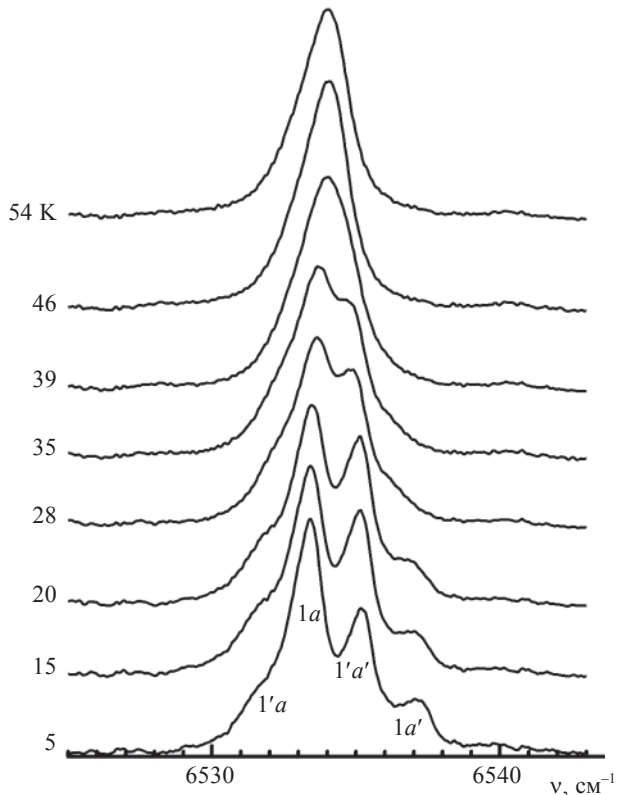
**Рис. 2.** Схема расщепления энергетических уровней  $^4I_{15/2}$  и  $^4I_{13/2}$  иона  $\text{Er}^{3+}$ .

соответствии со схемой рис. 2. Уровни энергии крамерсова иона  $\text{Er}^{3+}$  (ион с нечетным числом электронов) в кристаллическом поле симметрии выше кубической расщепляются на  $(2J + 1)/2$  штарковских подуровня, каждый из которых в отсутствие магнитного поля остается двукратно вырожденным. Так, например, уровни энергии свободного иона  $\text{Er}^{3+}$   $^4I_{15/2}$ ,  $^4I_{13/2}$ ,  $^4I_{11/2}$  и т. д. в кристаллическом поле расщепляются на 8, 7, 6 и т. д. штарковских подуровня соответственно. На рис. 2 приведен пример расщепления мультиплетов  $^4I_{15/2}$  и  $^4I_{13/2}$  иона  $\text{Er}^{3+}$ . Римскими цифрами I, II, III и т. д. обозначены крамерсовые дублеты мультиплета  $^4I_{15/2}$ , а большими латинскими буквами A, B, C и т. д. – крамерсовые дублеты мультиплета  $^4I_{13/2}$ . Таким образом, спектральная линия, соответствующая переходу с уровня основного состояния I на уровень A мультиплета  $^4I_{13/2}$ , обозначается IA. Интенсивность спектральных линий, соответствующих переходам с возбужденных штарковских уровней (II, III и т. д.) мультиплета  $^4I_{15/2}$  будет уменьшаться при понижении температуры в соответствии с законом распределения Больцмана. На рис. 1 эти линии обозначены ПА, ПВ ПВ и т. д. Из рис. 1 видно, что положения спектральных линий иона  $\text{Er}^{3+}$  в  $\text{RFe}_3(\text{BO}_3)_4$  ( $\text{R} = \text{Y}, \text{Er}, \text{Tb}, \text{Gd}$ ) близки, что говорит о близости кристаллического поля в этих соединениях.

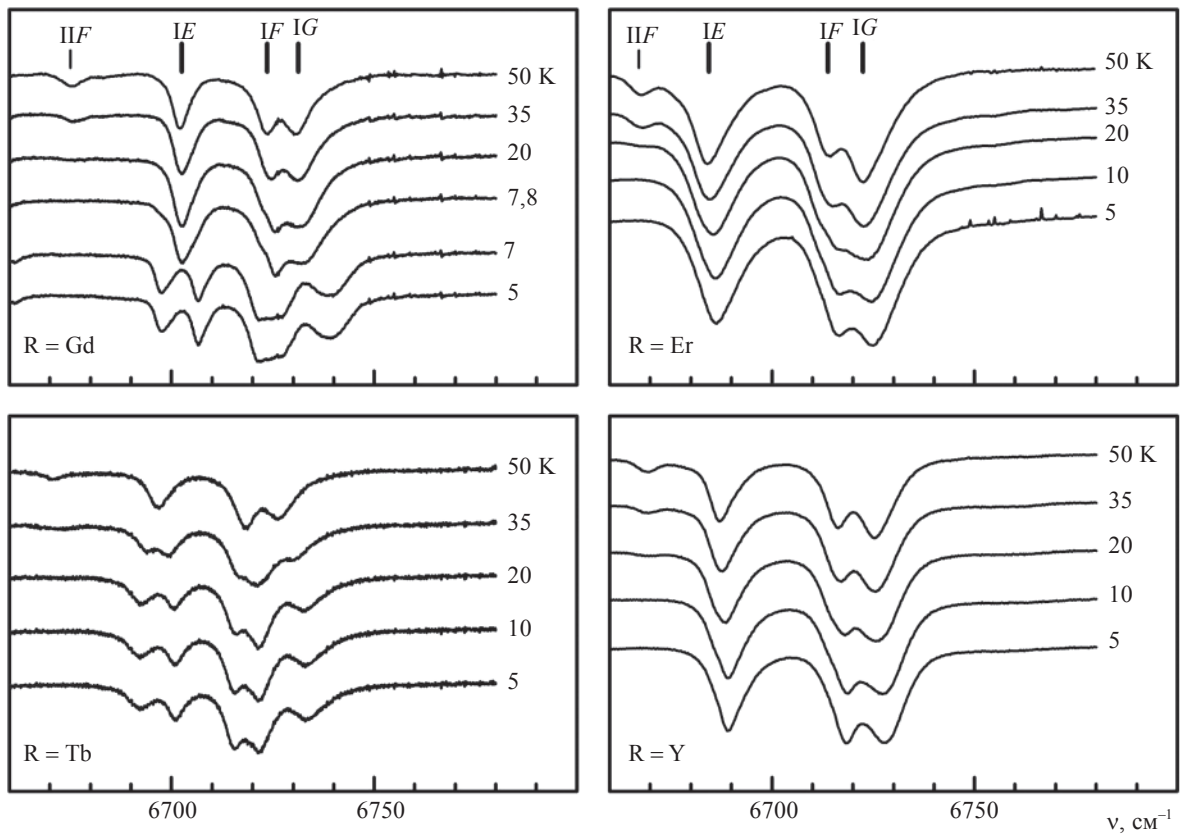
Рассмотрим более подробно температурное поведение линии IA в спектре поглощения  $\text{TbFe}_3(\text{BO}_3)_4:\text{Er}^{3+}$  (1 %) (рис. 3). При  $T = 54$  К видна одна широкая линия, расщепление которой становится заметным при 35 К. В результате линия IA расщепляется на 4 компоненты, причем интенсивность двух из них уменьшается при понижении температуры. Подобное поведение спектральных линий можно объяс-

нить снятием крамерсова вырождения при магнитном упорядочении (см. схему рис. 2). Так, уровень I расщепляется на два подуровня 1 и  $1'$ , а уровень A – на  $a$  и  $a'$ . В результате линия, соответствующая переходу IA, расщепляется на 4 компоненты ( $1a$ ,  $1a'$ ,  $1'a$ ,  $1'a'$ ). Переходы  $1'a$  и  $1'a'$  происходят с возбужденного подуровня  $1'$  расщепившегося крамерсового уровня I. Следовательно, при понижении температуры интенсивности линий, соответствующих переходам  $1'a$  и  $1'a'$ , будут уменьшаться. Как видно из схемы на рис. 2, расстояние между спектральными линиями  $1'a$  и  $1'a'$  равно величине расщепления  $\Delta_A$  возбужденного подуровня A, а расстояние между линиями  $1a$  и  $1a'$  – величине расщепления  $\Delta$  основного состояния I. По расщеплению линии IA в  $\text{TbFe}_3(\text{BO}_3)_4:\text{Er}^{3+}$  (1%) при  $T = 5$  К (рис. 3) были получены следующие величины расщепления основного состояния ( $\Delta$ ) и уровня A мультиплета  $^4I_{13/2}$  ( $\Delta_A$ ) иона  $\text{Er}^{3+}$ :  $\Delta = 1,9 \text{ см}^{-1}$ ,  $\Delta_A = 3,8 \text{ см}^{-1}$ .

Сравним расщепление спектральных линий иона  $\text{Er}^{3+}$  в  $\text{RFe}_3(\text{BO}_3)_4$  ( $\text{R} = \text{Y}, \text{Er}, \text{Tb}, \text{Gd}$ ) на примере линий IE, IF и IG (спектральная область  $6660$ – $6800 \text{ cm}^{-1}$ ) (рис. 4). При магнитном упорядочении линия IE в спектре пропускания  $\text{TbFe}_3(\text{BO}_3)_4:\text{Er}^{3+}$  (1%) расщепляется на две компоненты (две другие



**Рис. 3.** Линия поглощения IA иона  $\text{Er}^{3+}$  в  $\text{TbFe}_3(\text{BO}_3)_4:\text{Er}$  (1%) при разных температурах. Обозначения компонент обменного расщепления при  $T = 5$  К приведены в соответствии со схемой рис. 2.



**Рис. 4.** Линии IE, IF и IG в спектре пропускания в области перехода  ${}^4I_{15/2} \rightarrow {}^4I_{13/2}$  в ионе  $\text{Er}^{3+}$  в ферроборатах  $\text{RFe}_3(\text{BO}_3)_4$  при разных температурах.

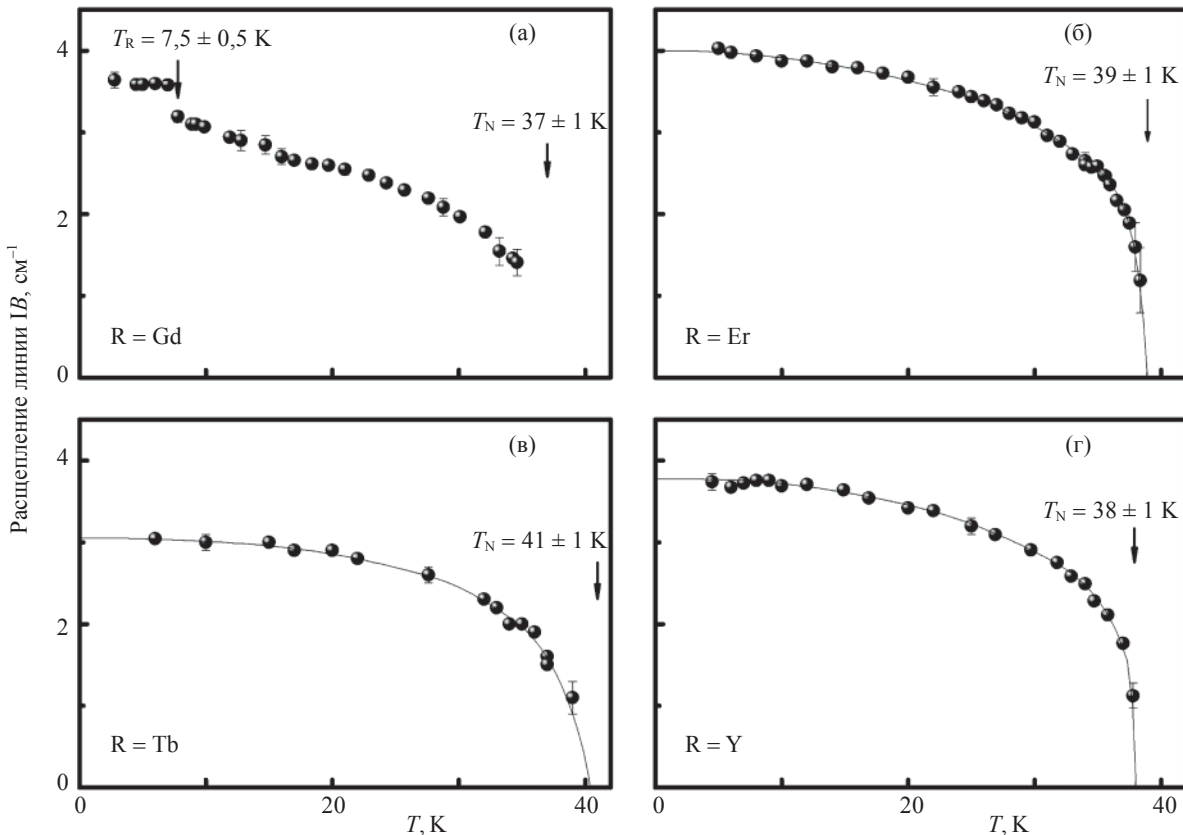
компоненты обменного расщепления не видны из-за уширения линии IE). Иная ситуация наблюдается в спектре монокристалла  $\text{GdFe}_3(\text{BO}_3)_4\text{-}\text{Er}^{3+}$  (1%). При  $T < T_N = 37$  К одна широкая линия IE содержит неразрешенные 4 компоненты обменного расщепления. В узком интервале температур между 7,8 и 7 К характер расщепления настолько резко меняется, что при 7 К линия IE становится дублетом. При этом появляется высокочастотная компонента обменного расщепления линии IG.

Подобное изменение вида спектра обусловлено спин-переориентационным переходом в  $\text{GdFe}_3(\text{BO}_3)_4$  из легкоплоскостного состояния в область температур  $T_R < T < T_N$  в легкоосное состояние при  $T < T_R$  [11, 12]. В настоящее время у нас недостаточно данных для объяснения различия значений температур спин-переориентационного перехода для чистого ферробората  $\text{GdFe}_3(\text{BO}_3)_4$  ( $T_R = 9$  К [11, 12]) и  $\text{GdFe}_3(\text{BO}_3)_4$ , легированного 1% Er ( $T_R \approx 7,5$  К). Возможно, влияет примесь эрбия, анизотропия которого способствует сохранению легкоплоскостного состояния. Возможно также, что это различие обусловлено неконтролируемыми примесями. Для соединений с  $\text{R} = \text{Y}$  и Er линия IE практически не изменяется вплоть до самых низких гелиевых температур. Спин-переориентационный переход, харак-

терный для  $\text{GdFe}_3(\text{BO}_3)_4$ , не наблюдается в спектрах соединений с  $\text{R} \neq \text{Gd}$  до 4,2 К.

На рис. 5 приведены расщепления одной из линий (IB) иона  $\text{Er}^{3+}$  в ферроборатах  $\text{RFe}_3(\text{BO}_3)_4$ . Поним определены значения температур  $T_N$  магнитного упорядочения:  $38 \pm 1$  К для  $\text{YFe}_3(\text{BO}_3)_4$ ,  $39 \pm 1$  К для  $\text{ErFe}_3(\text{BO}_3)_4$ ,  $41 \pm 1$  К для  $\text{TbFe}_3(\text{BO}_3)_4$  и  $37 \pm 1$  К для  $\text{GdFe}_3(\text{BO}_3)_4$ . Полученные данные для ферроборатов иттрия, тербия и гадолиния хорошо согласуются с  $T_N$ , найденными из измерений зависимостей теплоемкости и магнитной восприимчивости от температуры [10, 11, 13]. Для  $\text{ErFe}_3(\text{BO}_3)_4$  значение  $T_N$  получено впервые.

Расщепление крамерсовых дублетов зондового иона  $\text{Er}^{3+}$  определяется в основном обменным взаимодействием Er–Fe [16]. Область перекрытия экранированных  $f$ -оболочек ионов  $\text{Er}^{3+}$  и  $\text{R}^{3+}$  значительно меньше области перекрытия  $f$ -оболочки Er с протяженной  $d$ -оболочкой Fe. Кроме того, как следует из анализа кристаллической структуры, призмы  $\text{RO}_6$  изолированы и ионы  $\text{Er}^{3+}$  с ионами  $\text{Fe}^{3+}$  взаимодействуют через связь Er–O–Fe, длина которой существенно меньше, чем длины связей, через которые может происходить взаимодействие эрбия с редкоземельной подсистемой, а именно Er–O–O–R или Er–O–Fe–O–R. Величины обменных расщепле-



**Рис. 5.** Зависимости от температуры обменного расщепления линии  $\text{IB}$  иона  $\text{Er}^{3+}$  в  $\text{RFe}_3(\text{BO}_3)_4$ .

ний крамерсовых дублетов иона  $\text{Er}^{3+}$  зависят от ориентации магнитных моментов. Это хорошо видно из сравнения расщеплений спектральных линий при температурах выше и ниже температуры спин-предориентационного перехода (рис. 4, 5). Таким образом, зная об ориентации магнитных моментов железа в ферроборате  $\text{Gd}$  [11, 12] и сравнивая расщепление одной из спектральных линий иона  $\text{Er}^{3+}$  в  $\text{GdFe}_3(\text{BO}_3)_4$ , когда  $M_{\text{Fe}} \perp c$  ( $T > T_R$ ) или  $M_{\text{Fe}} \parallel c$  ( $T < T_R$ ), с величинами расщепления этой спектральной линии в ферроборатах тербия, иттрия и эрбия, можно сделать вывод об ориентации магнитных моментов в этих соединениях. Для ферроборатов иттрия и эрбия магнитные моменты в магнитоупорядоченном состоянии ориентированы в плоскости, перпендикулярной к оси  $c$ , для ферробората тербия – параллельно оси  $c$ .

Работа выполнена при поддержке РФФИ (грант № 04-02-17346) и проектов в программах фундаментальных исследований ОФН РАН и Президиума РАН. Авторы благодарят М.Н. Попову за полезные обсуждения.

#### ЛИТЕРАТУРА

1. Jouber J.C., White W.B., Roy R.J. Synthesis and crystallographic data of some rare earth-iron borates // *J. Appl. Cryst.* 1968. V. 1. P. 318–319.
2. Белоконева Е.Л., Альшинская Л.И., Симонов М.А., Леонюк Н.И., Тимченко Т.И., Белов Н.В. Кристаллическая структура  $(\text{Nd}, \text{Bi})\text{Fe}_3[\text{BO}_3]_4$  // ЖСХ. 1979. Т. 20. С. 542–544.
3. Campá J.A., Cascales C., Gutierrez-Puebla E., Monge M.A., Rasines I., Ruiz-Valero C. Crystal structure, magnetic order, and vibrational behavior in iron rare-earth borates // *Chem. Mater.* 1997. V. 9. № 1. P. 237–240.
4. Klimin S.A., Fausti D., Meetsma A., Bezmaternykh L.N., van Loosdrecht P.H.M., Palstra T.T.M. X-ray structure determination of the trigonal iron-helicoidal-chain compound  $\text{GdFe}_3(\text{BO}_3)_4$  // *Acta Cryst. B*. 2005. V. 61. P. 481–485.
5. Chen X., Luo Z., Jaque D., Romero J.J., Sole J.G., Huang Y., Jiang A., Tu C. Comparison of optical spectra of  $\text{Nd}^{3+}$  in  $\text{NdAl}_3(\text{BO}_3)_4$  (NAB),  $\text{Nd:GdAl}_3(\text{BO}_3)_4$  (NGAB) and  $\text{Nd:Gd}_{0.2}\text{Y}_{0.8}\text{Al}_3(\text{BO}_3)_4$  (NGYAB) crystals // *J. Phys.* 2001. V. 13. P. 1171–1178.
6. Jaque D. Self-frequency-sum mixing in Nd doped nonlinear crystals for laser generation in the three fundamental colours. The NYAB case // *J. Alloys Comp.* 2001. V. 323–324. P. 204–209.
7. Huang M., Chen Y., Chen X., Huang Y., Luo Z. A CW blue laser emission by self-sum-frequency-mixing in  $\text{Nd}^{3+}:\text{GdAl}_3(\text{BO}_3)_4$  crystal // *Opt. Commun.* 2002. V. 208. P. 163–166.
8. Chukalina E.P., Kuritsin D.Yu., Popova M.N., Bezmaternykh L.N., Kharlamova S.A., Temerov V.L. Magne-

- tic ordering of  $\text{NdFe}_3(\text{BO}_3)_4$  studied by infrared absorption spectroscopy // Phys. Lett. A. 2004. V. 322. P. 239–243.
9. Balaev A.D., Bezmaternykh L.N., Gudim I.A., Temerov V.L., Ovchinnikov S.G., Kharlamova S.A. Magnetic properties of trigonal single crystal  $\text{GdFe}_3(\text{BO}_3)_4$  // J. Magnetism and Magnetic Materials. 2003. V. 258–259. P. 532–534.
10. Hinatsu Y., Doi Y., Ito K., Wakeshima M., Alemi A. Magnetic and calorimetric studies on rare-earth iron borates  $\text{LnFe}_3(\text{BO}_3)_4$  ( $\text{Ln} = \text{Y}, \text{La-Nd}, \text{Sm-Ho}$ ) // J. Sol. St. Chem. 2003. V. 172. P. 438–455.
11. Levitin R.Z., Popova E.A., Chitscherov R.M. et al. Cascade of phase transitions in  $\text{GdFe}_3(\text{BO}_3)_4$  // Письма в ЖЭТФ. 2004. Т. 79. № 9–10. С. 531–534.
12. Панкрац А.И., Петраковский Г.А., Безматерных Л.Н., Балюков О.А. Антиферромагнитный резонанс и фазовые диаграммы гадолиниевого ферробората  $\text{GdFe}_3(\text{BO}_3)_4$  // ЖЭТФ. 2004. Т. 126. № 4. С. 887–897.
13. Vasiliev A.N., Popova E.A., Gugim I.A., Bezmaternykh L.N., Hiroi Z. Heat capacity of rare-earth ferroborates  $\text{RFe}_3(\text{BO}_3)_4$  // Journ. of Magnetism and Magnetic Materials. 2006.
14. Bezmaternykh L.N., Temerov V.L., Gudim I.A., Stolbovaya N.A. Crystallization of trigonal  $(\text{Tb}, \text{Er})(\text{Fe}, \text{Ga})_3(\text{BO}_3)_4$  phases with hantite structure in bismute trimolibdate-based fluxes // Crystallogr. Rep. 2005. V. 50. Suppl. 1. P. 97.
15. Калашикова А.М., Павлов В.В., Писарев Р.В., Безматерных Л.Н., Бауэр М., Расинг Т. Линейная и нелинейная оптическая спектроскопия гадолиниевого ферробората  $\text{GdFe}_3(\text{BO}_3)_4$  // Письма в ЖЭТФ. 2004. Т. 80. № 5. С. 339–343.
16. Popova M.N. High-resolution spectroscopy of rare earth cuprates and nickelates // J. Alloys Comp. 1998. V. 275–277. P. 142–147.